

# Aula 8

07 Maio 2019

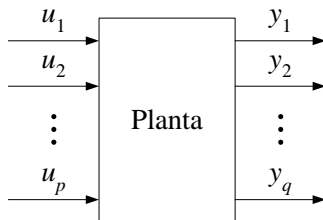
# Resumo da aula passada

- Tratamento de restrições - Caso SISO (“Single Input, Single Output”)

# Aula de hoje

- Extensão ao caso MIMO (“Multiple Inputs, Multiple Outputs”)

# Extensão ao caso MIMO



- $p$  variáveis manipuladas ( $u_1, u_2, \dots, u_p$ )
- $q$  variáveis controladas ( $y_1, y_2, \dots, y_q$ )



$$u(k) = \begin{bmatrix} u_1(k) \\ u_2(k) \\ \vdots \\ u_p(k) \end{bmatrix}_{p \times 1} \quad y(k) = \begin{bmatrix} y_1(k) \\ y_2(k) \\ \vdots \\ y_q(k) \end{bmatrix}_{q \times 1}$$

- Incrementos no controle:

$$\Delta u(k) = u(k) - u(k-1) = \begin{bmatrix} u_1(k) - u_1(k-1) \\ u_2(k) - u_2(k-1) \\ \vdots \\ u_p(k) - u_p(k-1) \end{bmatrix}_{p \times 1}$$

- Referências:

$$y_{ref} = \begin{bmatrix} y_{ref,1} \\ y_{ref,2} \\ \vdots \\ y_{ref,q} \end{bmatrix}_{q \times 1}$$

$$\hat{\mathbf{y}} = \begin{bmatrix} \hat{y}(k+1|k) \\ \hat{y}(k+2|k) \\ \vdots \\ \hat{y}(k+N|k) \end{bmatrix}_{qN \times 1}$$

$$\mathbf{r} = \begin{bmatrix} y_{ref} \\ y_{ref} \\ \vdots \\ y_{ref} \end{bmatrix}_{qN \times 1} = [y_{ref}]_N$$

$$\hat{\mathbf{u}} = \begin{bmatrix} \hat{u}(k|k) \\ \hat{u}(k+1|k) \\ \vdots \\ \hat{u}(k+M-1|k) \end{bmatrix}_{pM \times 1}$$

$$\Delta \hat{\mathbf{u}} = \begin{bmatrix} \Delta \hat{u}(k|k) \\ \Delta \hat{u}(k+1|k) \\ \vdots \\ \Delta \hat{u}(k+M-1|k) \end{bmatrix}_{pM \times 1}$$

## Função de custo

$$\begin{aligned} J(\hat{\mathbf{y}}, \Delta \hat{\mathbf{u}}) &= \sum_{i=1}^N [\hat{\mathbf{y}}(k+i|k) - \mathbf{y}_{ref}]^T Q [\hat{\mathbf{y}}(k+i|k) - \mathbf{y}_{ref}] \\ &+ \sum_{i=1}^M \Delta \hat{\mathbf{u}}^T(k+i-1|k) R \Delta \hat{\mathbf{u}}(k+i-1|k) \end{aligned}$$

$Q \in \mathbb{R}^{q \times q}$ ,  $R \in \mathbb{R}^{p \times p}$  matrizes de peso simétricas, com  $Q > 0$  e  $R > 0$ .

Caso particular:  $Q = \text{diag}(\mu_1, \mu_2, \dots, \mu_q)$ ,  $R = \text{diag}(\rho_1, \rho_2, \dots, \rho_p)$

$$\begin{aligned} J(\hat{\mathbf{y}}, \Delta \hat{\mathbf{u}}) &= \sum_{i=1}^N \sum_{j=1}^q \mu_j [\hat{y}_j(k+i|k) - y_{ref,j}]^2 \\ &+ \sum_{i=1}^M \sum_{l=1}^p \rho_l [\Delta \hat{u}_l(k+i-1|k)]^2 \end{aligned}$$



# Orientações para sintonia dos parâmetros (plantas estáveis)

## Referências:

- 1 SHRIDHAR, R.; COOPER, D.J. A tuning strategy for unconstrained multivariable model predictive control. *Industrial and Engineering Chemistry Research*, v. 37, n. 10, p. 4003 - 4016, 1998.
- 2 DOUGHERTY, D.; COOPER, D.J. Tuning guidelines of a dynamic matrix controller for integrating (non-self-regulating) processes. *Industrial and Engineering Chemistry Research*, v. 42, n. 8, p. 1739 - 1752, 2003.

Supondo que a dinâmica entre a  $l$ -ésima entrada e a  $j$ -ésima saída da planta possa ser aproximada pela seguinte função de transferência:

$$\frac{Y(s)}{U(s)} = \frac{K_{jl}e^{-\theta_{jl}s}}{\tau_{jl}s + 1}$$

recomenda-se tomar:

- Período de amostragem:  $T = \min_{j=1,2,\dots,q; l=1,2,\dots,p} \max(0,1\tau_{jl}; 0,5\theta_{jl})$
- Horizonte de predição:

$$N = \max_{j=1,2,\dots,q; l=1,2,\dots,p} \text{round} \left[ \frac{5\tau_{jl} + \theta_{jl}}{T} + 1 \right]$$

- Horizonte de controle:

$$M = \max_{j=1,2,\dots,q; l=1,2,\dots,p} \text{round} \left[ \frac{\tau_{jl} + \theta_{jl}}{T} + 1 \right]$$

## “Regra de Bryson” para escolha dos pesos

$$\begin{aligned} J(\hat{\mathbf{y}}, \Delta \hat{\mathbf{u}}) &= \sum_{i=1}^N \sum_{j=1}^q \mu_j [\hat{y}_j(k+i|k) - y_{ref,j}]^2 \\ &+ \sum_{i=1}^M \sum_{l=1}^p \rho_l [\Delta \hat{u}_l(k+i-1|k)]^2 \end{aligned}$$

Sejam  $\theta_j$  e  $\eta_l$  as amplitudes de  $[y_j(k) - y_{ref,j}]$  e  $\Delta u_l(k)$  esperadas durante a operação da planta.

Os pesos  $\mu_j$  e  $\rho_l$  podem ser escolhidos como:

$$\mu_j = \frac{1}{N \theta_j^2}, \quad \rho_l = \frac{1}{M \eta_l^2}$$

## Função de custo: Observações

**Obs. 1:** Podem ser usados horizontes de predição e controle diferentes para cada canal de entrada e saída da planta. Contudo, essa possibilidade não será aqui explorada.

**Obs. 2:** Também seria possível empregar pesos diferentes para cada instante de tempo ao longo dos horizontes de predição e controle.

# Função de custo: Notação Matricial

Seja

$$\mathbf{Q} = \begin{bmatrix} Q & 0 & \cdots & 0 \\ 0 & Q & \cdots & 0 \\ \vdots & \vdots & \ddots & \vdots \\ 0 & 0 & \cdots & Q \end{bmatrix}_{qN \times qN} \quad \mathbf{R} = \begin{bmatrix} R & 0 & \cdots & 0 \\ 0 & R & \cdots & 0 \\ \vdots & \vdots & \ddots & \vdots \\ 0 & 0 & \cdots & R \end{bmatrix}_{pM \times pM}$$

Se  $Q > 0$ ,  $R > 0$ , tem-se  $\mathbf{Q} > 0$ ,  $\mathbf{R} > 0$ .

$$\begin{aligned}
 J(\hat{\mathbf{y}}, \Delta \hat{\mathbf{u}}) &= \sum_{i=1}^N [\hat{\mathbf{y}}(k+i|k) - y_{ref}]^T \mathbf{Q} [\hat{\mathbf{y}}(k+i|k) - y_{ref}] \\
 &+ \sum_{i=1}^M \Delta \hat{\mathbf{u}}^T(k+i-1|k) \mathbf{R} \Delta \hat{\mathbf{u}}(k+i-1|k)
 \end{aligned}$$

$$J(\hat{\mathbf{y}}, \Delta \hat{\mathbf{u}}) = (\hat{\mathbf{y}} - \mathbf{r})^T \mathbf{Q} (\hat{\mathbf{y}} - \mathbf{r}) + \Delta \hat{\mathbf{u}}^T \mathbf{R} \Delta \hat{\mathbf{u}}$$

# Obtenção da equação de predição empregando modelo no espaço de estados

Modelo adotado:

$$x(k+1) = Ax(k) + Bu(k)$$

$$y(k) = Cx(k)$$

com

$$x(k) \in \mathbb{R}^n, u(k) \in \mathbb{R}^p, y(k) \in \mathbb{R}^q$$

$$A \in \mathbb{R}^{n \times n}, B \in \mathbb{R}^{n \times p}, C \in \mathbb{R}^{q \times n}$$

## Equação de predição em $\hat{\mathbf{u}}$

$$\hat{\mathbf{y}} = H\hat{\mathbf{u}} + \mathbf{f}_u$$

$$H = \begin{bmatrix} CB & 0 & \dots & 0 \\ CAB & CB & \dots & 0 \\ \vdots & \vdots & \ddots & \vdots \\ CA^{N-1}B & CA^{N-2}B & \dots & CB \end{bmatrix}_{qN \times pN}$$

$$\mathbf{f}_u = \Phi_u \mathbf{x}(k), \quad \Phi_u = \begin{bmatrix} CA \\ CA^2 \\ \vdots \\ CA^N \end{bmatrix}_{qN \times n}$$



# Modelo com entrada incremental

Uso do estado aumentado  $\xi \in \mathbb{R}^{n+p}$  com o último valor de controle aplicado à planta:

$$\xi(k) = \begin{bmatrix} x(k) \\ u(k-1) \end{bmatrix}$$

$$\xi(k+1) = \begin{bmatrix} A & B \\ 0_{p \times n} & I_p \end{bmatrix} \xi(k) + \begin{bmatrix} B \\ I_p \end{bmatrix} \Delta u(k)$$

$$y(k) = [C \quad 0_{q \times p}] \xi(k)$$

Novo modelo a ser empregado:

$$\xi(k+1) = \tilde{A}\xi(k) + \tilde{B}\Delta u(k), \quad y(k) = \tilde{C}\xi(k)$$

com

$$\tilde{A} = \begin{bmatrix} A & B \\ 0_{p \times n} & I_p \end{bmatrix}, \quad \tilde{B} = \begin{bmatrix} B \\ I_p \end{bmatrix}, \quad \tilde{C} = [C \quad 0_{q \times p}]$$

## Equação de predição em $\Delta\hat{\mathbf{u}}$

$$\hat{\mathbf{y}} = G\Delta\hat{\mathbf{u}} + \mathbf{f}$$

$$G = \begin{bmatrix} \tilde{C}\tilde{B} & 0 & \cdots & 0 \\ \tilde{C}\tilde{A}\tilde{B} & \tilde{C}\tilde{B} & \cdots & 0 \\ \vdots & \vdots & \ddots & \vdots \\ \tilde{C}\tilde{A}^{N-1}\tilde{B} & \tilde{C}\tilde{A}^{N-2}\tilde{B} & \cdots & \tilde{C}\tilde{B} \end{bmatrix}_{qN \times pN}$$

$$\mathbf{f} = \Phi \xi(k), \quad \Phi = \begin{bmatrix} \tilde{C}\tilde{A} \\ \tilde{C}\tilde{A}^2 \\ \vdots \\ \tilde{C}\tilde{A}^N \end{bmatrix}_{qN \times n}$$

Obs: Caso  $M < N$ , suprimem-se as últimas  $(N - M)p$  colunas de  $G$ .

# Solução na ausência de restrições

Problema de otimização a ser resolvido no instante  $k$ : Minimizar

$$J(\hat{\mathbf{y}}, \Delta\hat{\mathbf{u}}) = (\hat{\mathbf{y}} - \mathbf{r})^T \mathbf{Q}(\hat{\mathbf{y}} - \mathbf{r}) + \Delta\hat{\mathbf{u}}^T \mathbf{R}\Delta\hat{\mathbf{u}}$$

s.a.

$$\hat{\mathbf{y}} = \mathbf{G}\Delta\hat{\mathbf{u}} + \mathbf{f}$$

Substituindo a expressão de  $\hat{\mathbf{y}}$  na função de custo, obtém-se:

$$\begin{aligned} J &= (\mathbf{G}\Delta\hat{\mathbf{u}} + \mathbf{f} - \mathbf{r})^T \mathbf{Q} (\mathbf{G}\Delta\hat{\mathbf{u}} + \mathbf{f} - \mathbf{r}) + \Delta\hat{\mathbf{u}}^T \mathbf{R} \Delta\hat{\mathbf{u}} = \\ &\Delta\hat{\mathbf{u}}^T \mathbf{G}^T \mathbf{Q} \mathbf{G} \Delta\hat{\mathbf{u}} + 2(\mathbf{f} - \mathbf{r})^T \mathbf{Q} (\mathbf{G}\Delta\hat{\mathbf{u}}) + (\mathbf{f} - \mathbf{r})^T \mathbf{Q} (\mathbf{f} - \mathbf{r}) + \Delta\hat{\mathbf{u}}^T \mathbf{R} \Delta\hat{\mathbf{u}} \\ &= \Delta\hat{\mathbf{u}}^T \underbrace{(\mathbf{G}^T \mathbf{Q} \mathbf{G} + \mathbf{R})}_{(1/2)\mathcal{H}} \Delta\hat{\mathbf{u}} + \underbrace{2(\mathbf{f} - \mathbf{r})^T \mathbf{Q} \mathbf{G}}_{c^T} \Delta\hat{\mathbf{u}} + \underbrace{(\mathbf{f} - \mathbf{r})^T \mathbf{Q} (\mathbf{f} - \mathbf{r})}_{cte} \\ J &= \frac{1}{2} \Delta\hat{\mathbf{u}}^T \mathcal{H} \Delta\hat{\mathbf{u}} + c^T \Delta\hat{\mathbf{u}} + cte \\ \mathcal{H} &= 2(\mathbf{G}^T \mathbf{Q} \mathbf{G} + \mathbf{R}), \quad c = 2\mathbf{G}^T \mathbf{Q} (\mathbf{f} - \mathbf{r}) \end{aligned}$$

Vale notar que  $\mathbf{R} > 0 \Rightarrow \mathcal{H} > 0$ .

$$J(\Delta \hat{\mathbf{u}}) = \frac{1}{2} \Delta \hat{\mathbf{u}}^T \mathcal{H} \Delta \hat{\mathbf{u}} + \mathbf{c}^T \Delta \hat{\mathbf{u}} + \text{cte}$$

$$\mathcal{H} > 0$$

Como visto anteriormente para o caso SISO, a solução deste problema de otimização é dada por

$$\Delta \hat{\mathbf{u}}^* = -\mathcal{H}^{-1} \mathbf{c}$$

com

$$\mathcal{H} = 2(\mathbf{G}^T \mathbf{Q} \mathbf{G} + \mathbf{R}), \quad \mathbf{c} = 2\mathbf{G}^T \mathbf{Q}(\mathbf{f} - \mathbf{r})$$

Logo:

$$\Delta \hat{\mathbf{u}}^* = (\mathbf{G}^T \mathbf{Q} \mathbf{G} + \mathbf{R})^{-1} \mathbf{G}^T \mathbf{Q}(\mathbf{r} - \mathbf{f})$$

$$\Delta \hat{\mathbf{u}}^* = (\mathbf{G}^T \mathbf{Q} \mathbf{G} + \mathbf{R})^{-1} \mathbf{G}^T \mathbf{Q} (\mathbf{r} - \mathbf{f})$$

No instante atual, a variação de controle a ser aplicada corresponde aos primeiros  $p$  elementos do vetor  $\Delta \hat{\mathbf{u}}^*$ , isto é:

$$\Delta u(k) = \Delta \hat{u}^*(k|k) = K_{MPC}(\mathbf{r} - \mathbf{f})$$

sendo  $K_{MPC}$  uma matriz  $(p \times qN)$  formada pelas primeiras  $p$  linhas de  $(\mathbf{G}^T \mathbf{Q} \mathbf{G} + \mathbf{R})^{-1} \mathbf{G}^T \mathbf{Q}$ , ou seja:

$$K_{MPC} = \begin{bmatrix} I_p & 0_{p \times p(M-1)} \end{bmatrix} (\mathbf{G}^T \mathbf{Q} \mathbf{G} + \mathbf{R})^{-1} \mathbf{G}^T \mathbf{Q}$$

com  $I_p$  denotando uma matriz identidade de dimensões  $(p \times p)$ .

# MPC empregando modelo no espaço de estados: Resumo

## Informação requerida sobre a planta:

- Matrizes  $A, B, C$  do modelo no espaço de estados

## Parâmetros de projeto:

- Pesos das saídas  $\mu_1, \mu_2, \dots, \mu_q > 0$
- Pesos dos controles  $\rho_1, \rho_2, \dots, \rho_p > 0$
- Horizonte de predição  $N$
- Horizonte de controle  $M$



## Inicialização:

- Fazer

$$\tilde{A} = \begin{bmatrix} A & B \\ 0_{p \times n} & I_p \end{bmatrix}, \quad \tilde{B} = \begin{bmatrix} B \\ I_p \end{bmatrix}, \quad \tilde{C} = [C \quad 0_{q \times p}]$$

$$G = \begin{bmatrix} \tilde{C}\tilde{B} & 0 & \dots & 0 \\ \tilde{C}\tilde{A}\tilde{B} & \tilde{C}\tilde{B} & \dots & 0 \\ \vdots & \vdots & \ddots & \vdots \\ \tilde{C}\tilde{A}^{N-1}\tilde{B} & \tilde{C}\tilde{A}^{N-2}\tilde{B} & \dots & \tilde{C}\tilde{A}^{N-M}\tilde{B} \end{bmatrix}, \quad \Phi = \begin{bmatrix} \tilde{C}\tilde{A} \\ \tilde{C}\tilde{A}^2 \\ \vdots \\ \tilde{C}\tilde{A}^N \end{bmatrix}$$

- Fazer

$$Q = \text{diag}(\mu_1, \mu_2, \dots, \mu_q), \quad R = \text{diag}(\rho_1, \rho_2, \dots, \rho_p)$$

$$\mathbf{Q} = \begin{bmatrix} Q & 0 & \dots & 0 \\ 0 & Q & \dots & 0 \\ \vdots & \vdots & \ddots & \vdots \\ 0 & 0 & \dots & Q \end{bmatrix}_{qN \times qN}, \quad \mathbf{R} = \begin{bmatrix} R & 0 & \dots & 0 \\ 0 & R & \dots & 0 \\ \vdots & \vdots & \ddots & \vdots \\ 0 & 0 & \dots & R \end{bmatrix}_{pM \times pM}$$

- Calcular  $K_{MPC} = [I_p \quad 0_{p \times p(M-1)}] (G^T \mathbf{Q} G + \mathbf{R})^{-1} G^T \mathbf{Q}$
- Fazer  $k = 0, u(-1) = 0$ .

## Rotina principal:

- 1 Ler  $x(k)$  (estado da planta) e  $y_{ref}$  (vetor de referências para as saídas)
- 2 Fazer  $\mathbf{r} = [y_{ref}]_N$
- 3 Fazer

$$\xi(k) = \begin{bmatrix} x(k) \\ u(k-1) \end{bmatrix}$$

- 4 Calcular  $\mathbf{f} = \Phi \xi(k)$
- 5 Calcular o incremento no controle  $\Delta u(k) = K_{MPC}(\mathbf{r} - \mathbf{f})$
- 6 Atualizar o controle aplicado à planta:  $u(k) = u(k-1) + \Delta u(k)$
- 7 Fazer  $k = k + 1$
- 8 Aguardar o próximo instante de amostragem e retornar ao passo 1.

# Implementação em Matlab

- `matrizes_ss_du_mimo.m`: Monta as matrizes  $K_{MPC}, \Phi$ .
- `mpc_ss_du_mimo.m`: S-function que implementa o controlador

# Controle da dinâmica longitudinal de uma aeronave 747

- Condição de voo considerada:
  - Altitude:  $h = 40000\text{ft}$
  - Velocidade:  $V = 774\text{ft/s}$  (Mach 0.80)

# Modelo linear adotado

Estados:

- $x_1 = u$  = velocidade no eixo longitudinal [ $ft/s$ ]
- $x_2 = w$  = velocidade no eixo vertical (positiva para baixo) [ $ft/s$ ]
- $x_3 = q$  = velocidade de arfagem [ $crad/s$ ]
- $x_4 = \theta$  = ângulo de atitude [ $crad$ ]

Variáveis manipuladas:

- $u_1 = \delta_e$  = deflexão do profundor [ $crad$ ]
- $u_2 = \delta_t$  = tração específica [ $ft/s^2$ ]

Variáveis controladas:

- $y_1 = u = x_1$
- $y_2 = \dot{h} = -w + 7,74\theta = -x_2 + 7,74x_4$  (taxa de subida)

$$\dot{x} = \begin{bmatrix} -0,003 & 0,039 & 0 & -0,322 \\ -0,065 & -0,319 & 7,74 & 0 \\ 0,0201 & -0,101 & -0,429 & 0 \\ 0 & 0 & 1 & 0 \end{bmatrix} x + \begin{bmatrix} 0,01 & 1 \\ -0,18 & -0,04 \\ -1,16 & 0,598 \\ 0 & 0 \end{bmatrix} u$$

$$y = \begin{bmatrix} 1 & 0 & 0 & 0 \\ 0 & -1 & 0 & 7,74 \end{bmatrix} x$$

---

Referência: BRYSON, A. E. *Control of Spacecraft and Aircraft*, Princeton University Press, 1994.

## Modelo discretizado

- Período de amostragem  $T = 0,3s$ .
- Sinal de controle constante entre os instantes de amostragem.

$$A = \begin{bmatrix} 0,999 & 1,12 \times 10^{-2} & -1,27 \times 10^{-3} & -9,66 \times 10^{-2} \\ -1,19 \times 10^{-2} & 0,877 & 2,05 & 6,95 \times 10^{-4} \\ 5,86 \times 10^{-3} & -2,67 \times 10^{-2} & 0,848 & -2,86 \times 10^{-4} \\ 8,90 \times 10^{-4} & -4,19 \times 10^{-3} & 0,278 & 1,00 \end{bmatrix}$$

$$B = \begin{bmatrix} 2,83 \times 10^{-3} & 0,300 \\ -0,424 & 0,179 \\ -0,322 & 0,167 \\ -4,97 \times 10^{-2} & 2,58 \times 10^{-2} \end{bmatrix}, \quad C = \begin{bmatrix} 1 & 0 & 0 & 0 \\ 0 & -1 & 0 & 7,74 \end{bmatrix}$$



- `parametros_B747.m`: Define os parâmetros do modelo
- `B747_mpc_ss_du.mdl`: Diagrama de simulação

# Parâmetros utilizados na simulação

- Comando de  $+10ft/s$  na taxa de subida com manutenção da velocidade
- Horizonte de Predição:  $N = 10$
- Horizonte de Controle:  $M = 5$
- Pesos de saída:  $\mu = [1, 1]$
- Pesos de controle:  $\rho = [1, 1]$

## Estimação de perturbações empregando observador de estados

Vamos supor que a dinâmica da planta seja descrita por um modelo da forma

$$x(k+1) = Ax(k) + Bu(k) + Ed(k)$$

$$y(k) = Cx(k)$$

$$z(k) = C_z x(k)$$

sendo  $d(k) \in \mathbb{R}^{n_d}$  um vetor de perturbações e  $z(k) \in \mathbb{R}^{n_z}$  o vetor de variáveis medidas.

Obs. 1: Casos particulares são

- $E = B$  (perturbação aditiva nas variáveis manipuladas)
- $C_z = I_n$  (realimentação de estado completo)

Obs. 2: Alternativamente, poderiam ser adotados modelos com perturbação de saída.

Estado aumentado:

$$\chi(k) = \begin{bmatrix} x(k) \\ d(k) \end{bmatrix}$$

Sob a hipótese de perturbação constante, tem-se

$$\chi(k+1) = \begin{bmatrix} x(k+1) \\ d(k+1) \end{bmatrix} = \begin{bmatrix} Ax(k) + Bu(k) + Ed(k) \\ d(k) \end{bmatrix}$$

$$= \begin{bmatrix} A & E \\ 0_{n_d \times n} & I_{n_d} \end{bmatrix} \begin{bmatrix} x(k) \\ d(k) \end{bmatrix} + \begin{bmatrix} B \\ 0_{n_d \times p} \end{bmatrix} u(k)$$

$$y(k) = Cx(k) = [C \quad 0_{q \times n_d}] \begin{bmatrix} x(k) \\ d(k) \end{bmatrix}$$

$$z(k) = C_z x(k) = [C_z \quad 0_{n_z \times n_d}] \begin{bmatrix} x(k) \\ d(k) \end{bmatrix}$$

Assim, o modelo torna-se

$$\chi(k+1) = \bar{A}\chi(k) + \bar{B}u(k)$$

$$y(k) = \bar{C}\chi(k), \quad z(k) = \bar{C}_z\chi(k)$$

sendo

$$\bar{A} = \begin{bmatrix} A & E \\ 0_{n_d \times n} & I_{n_d} \end{bmatrix}, \quad \bar{B} = \begin{bmatrix} B \\ 0_{n_d \times p} \end{bmatrix}$$

$$\bar{C} = [C \quad 0_{q \times n_d}], \quad \bar{C}_z = [C_z \quad 0_{n_z \times n_d}]$$

Pode-se então projetar um observador de estados com base em  $(\bar{A}, \bar{B}, \bar{C}_z)$  para obter uma estimativa  $\chi(k|k)$  do estado aumentado  $\chi(k)$ , que inclui a perturbação.

Como visto no caso SISO, a equação de predição deve incluir a perturbação estimada. Para isso, pode-se redefinir o estado aumentado como

$$\xi(k) = \begin{bmatrix} \chi(k) \\ u(k-1) \end{bmatrix}$$

Dessa forma, basta usar  $\chi(k)$  e  $(\bar{A}, \bar{B}, \bar{C})$  em lugar de  $x(k)$  e  $(A, B, C)$  na formulação de controle preditivo.

# Exemplo

- `parametros_B747.m`: Define os parâmetros do modelo
- `B747_mpc_ss_du_pert.mdl`: Diagrama de simulação incluindo estimador de perturbação de entrada

# Tratamento de restrições

Assim como no caso SISO, três tipos básicos de restrições serão consideradas:

- Incrementos nos controles  $\Delta u$
- Excursão dos controles  $u$
- Excursão das saídas  $y$

Essas restrições serão expressas em termos de desigualdades lineares envolvendo  $\Delta \hat{u}$ .



## Restrições sobre os incrementos nos controles $\Delta u$

$$\Delta u_{min} \leq \Delta \hat{u}(k+i-1|k) \leq \Delta u_{max}, \quad i = 1, 2, \dots, M$$

$$\Delta u_{min}, \Delta u_{max} \in \mathbb{R}^p$$

$$\begin{bmatrix} \Delta u_{min} \\ \Delta u_{min} \\ \vdots \\ \Delta u_{min} \end{bmatrix} \leq \overbrace{\begin{bmatrix} \Delta \hat{u}(k|k) \\ \Delta \hat{u}(k+1|k) \\ \vdots \\ \Delta \hat{u}(k+M-1|k) \end{bmatrix}}^{\Delta \hat{u}} \leq \begin{bmatrix} \Delta u_{max} \\ \Delta u_{max} \\ \vdots \\ \Delta u_{max} \end{bmatrix}$$

$$[\Delta u_{min}]_M \leq \Delta \hat{u} \leq [\Delta u_{max}]_M$$

$$[\Delta u_{min}]_M = \underbrace{\begin{bmatrix} I_p \\ I_p \\ \vdots \\ I_p \end{bmatrix}}_{pM \times p} \Delta u_{min} \quad , \quad [\Delta u_{max}]_M = \underbrace{\begin{bmatrix} I_p \\ I_p \\ \vdots \\ I_p \end{bmatrix}}_{pM \times p} \Delta u_{max}$$

$$[\Delta u_{min}]_M \leq \Delta \hat{\mathbf{u}} \leq [\Delta u_{max}]_M$$

$$\begin{cases} \Delta \hat{\mathbf{u}} & \leq & [\Delta u_{max}]_M \\ -\Delta \hat{\mathbf{u}} & \leq & -[\Delta u_{min}]_M \end{cases}$$

$$\overbrace{\begin{bmatrix} I_{pM} \\ -I_{pM} \end{bmatrix}}^{2pM \times pM} \Delta \hat{\mathbf{u}} \leq \overbrace{\begin{bmatrix} [\Delta u_{max}]_M \\ -[\Delta u_{min}]_M \end{bmatrix}}^{2pM \times 1}$$

## Restrições sobre a excursão dos controles $u$

$$u_{min} \leq \hat{u}(k+i-1|k) \leq u_{max}, \quad i = 1, 2, \dots, M$$

$$u_{min}, u_{max} \in \mathbb{R}^p$$

$$[u_{min}]_M \leq \hat{\mathbf{u}} \leq [u_{max}]_M$$

- Para expressar estas restrições em termos de  $\Delta\hat{\mathbf{u}}$ , deve-se obter uma relação entre  $\hat{\mathbf{u}}$  e  $\Delta\hat{\mathbf{u}}$ .

$$\begin{bmatrix} \hat{u}(k|k) \\ \hat{u}(k+1|k) \\ \vdots \\ \hat{u}(k+M-1|k) \end{bmatrix} = \begin{bmatrix} u(k-1) \\ u(k-1) \\ \vdots \\ u(k-1) \end{bmatrix} + \\
 + \begin{bmatrix} \Delta\hat{u}(k|k) \\ \Delta\hat{u}(k|k) + \Delta\hat{u}(k+1|k) \\ \vdots \\ \Delta\hat{u}(k|k) + \Delta\hat{u}(k+1|k) + \dots + \Delta\hat{u}(k+M-1|k) \end{bmatrix}$$

$$\begin{aligned}
 & \overbrace{\begin{bmatrix} \hat{u}(k|k) \\ \hat{u}(k+1|k) \\ \vdots \\ \hat{u}(k+M-1|k) \end{bmatrix}}^{\hat{\mathbf{u}}(pM \times 1)} = \overbrace{\begin{bmatrix} u(k-1) \\ u(k-1) \\ \vdots \\ u(k-1) \end{bmatrix}}^{[u(k-1)]_M(pM \times 1)} \\
 & + \underbrace{\begin{bmatrix} I_p & 0_{p \times p} & \cdots & 0_{p \times p} \\ I_p & I_p & \cdots & 0_{p \times p} \\ \vdots & \vdots & \ddots & \vdots \\ I_p & I_p & \cdots & I_p \end{bmatrix}}_{T_M^{I_p}(pM \times pM)} \underbrace{\begin{bmatrix} \Delta \hat{u}(k|k) \\ \Delta \hat{u}(k+1|k) \\ \vdots \\ \Delta \hat{u}(k+M-1|k) \end{bmatrix}}_{\Delta \hat{\mathbf{u}}(pM \times 1)}
 \end{aligned}$$

$$\boxed{\hat{\mathbf{u}} = [u(k-1)]_M + T_M^{I_p} \Delta \hat{\mathbf{u}}}$$

$$[u_{min}]_M \leq \hat{\mathbf{u}} \leq [u_{max}]_M$$

$$\hat{\mathbf{u}} = [u(k-1)]_M + \mathbf{T}_M^{l_p} \Delta \hat{\mathbf{u}}$$

Logo:

$$[u_{min}]_M \leq [u(k-1)]_M + \mathbf{T}_M^{l_p} \Delta \hat{\mathbf{u}} \leq [u_{max}]_M$$

$$[u_{min} - u(k-1)]_M \leq \mathbf{T}_M^{l_p} \Delta \hat{\mathbf{u}} \leq [u_{max} - u(k-1)]_M$$

$$\begin{cases} \mathbf{T}_M^{l_p} \Delta \hat{\mathbf{u}} & \leq [u_{max} - u(k-1)]_M \\ -\mathbf{T}_M^{l_p} \Delta \hat{\mathbf{u}} & \leq [u(k-1) - u_{min}]_M \end{cases}$$

$$\overbrace{\begin{bmatrix} \mathbf{T}_M^{l_p} \\ -\mathbf{T}_M^{l_p} \end{bmatrix}}^{2pM \times pM} \Delta \hat{\mathbf{u}} \leq \overbrace{\begin{bmatrix} [u_{max} - u(k-1)]_M \\ [u(k-1) - u_{min}]_M \end{bmatrix}}^{2pM \times 1}$$

## Restrições sobre a excursão das saídas $y$

$$y_{min} \leq \hat{y}(k+i|k) \leq y_{max}, \quad i = 1, \dots, N$$

$$\Delta y_{min}, \Delta y_{max} \in \mathbb{R}^q$$



$$[y_{min}]_N \leq \hat{\mathbf{y}} \leq [y_{max}]_N$$

Lembrando que  $\hat{\mathbf{y}} = G\Delta\hat{\mathbf{u}} + \mathbf{f}$ , a restrição pode ser reescrita como

$$[y_{min}]_N \leq G\Delta\hat{\mathbf{u}} + \mathbf{f} \leq [y_{max}]_N$$

$$[y_{min}]_N - \mathbf{f} \leq G\Delta\hat{\mathbf{u}} \leq [y_{max}]_N - \mathbf{f}$$

$$\begin{cases} G\Delta\hat{\mathbf{u}} & \leq [y_{max}]_N - \mathbf{f} \\ -G\Delta\hat{\mathbf{u}} & \leq \mathbf{f} - [y_{min}]_N \end{cases}$$

$$\overbrace{\begin{bmatrix} G \\ -G \end{bmatrix}}^{2qN \times M} \Delta\hat{\mathbf{u}} \leq \overbrace{\begin{bmatrix} [y_{max}]_N - \mathbf{f} \\ \mathbf{f} - [y_{min}]_N \end{bmatrix}}^{2qN \times 1}$$

# Restrições sobre a excursão das saídas $y$ : Observação

De modo mais geral, pode haver variáveis de saída sujeitas a restrições, mas que não estejam incluídas na função de custo.

Nesse caso, pode-se utilizar na formulação das restrições uma equação de predição que considere especificamente as variáveis de saída sujeitas a restrições.

# Resumo das restrições

$$\begin{array}{c}
 S[(4pM+2qN) \times pM] \\
 \overbrace{\left[ \begin{array}{c} I_{pM} \\ -I_{pM} \\ T_M^{I_p} \\ -T_M^{I_p} \\ G \\ -G \end{array} \right]} \\
 \end{array}
 \Delta \hat{\mathbf{u}} \leq
 \begin{array}{c}
 b[(4pM+2qN) \times 1] \\
 \overbrace{\left[ \begin{array}{c} [\Delta u_{max}]_M \\ -[\Delta u_{min}]_M \\ [u_{max} - u(k-1)]_M \\ [u(k-1) - u_{min}]_M \\ [y_{max}]_N - \mathbf{f} \\ \mathbf{f} - [y_{min}]_N \end{array} \right]} \\
 \end{array}$$

$$\boxed{S\Delta \hat{\mathbf{u}} \leq \mathbf{b}}$$

# Formulação do problema de otimização com restrições

Assim como no caso SISO, o problema de otimização na presença das restrições consideradas pode ser colocado na forma de Programação Quadrática:

$$\min_{\Delta \hat{\mathbf{u}} \in \mathbb{R}^{pM}} J(\Delta \hat{\mathbf{u}}) = \frac{1}{2} \Delta \hat{\mathbf{u}}^T \mathcal{H} \Delta \hat{\mathbf{u}} + \mathbf{c}^T \Delta \hat{\mathbf{u}} + \text{cte}$$

sujeito a

$$\mathbf{S} \Delta \hat{\mathbf{u}} \leq \mathbf{b}$$

# Implementação da lei de controle

## Informação requerida sobre a planta:

- Matrizes  $A \in \mathbb{R}^{n \times n}$ ,  $B \in \mathbb{R}^{n \times p}$ ,  $C \in \mathbb{R}^{q \times n}$  do modelo
- Limitantes sobre os incrementos nos controles:  $\Delta u_{min}, \Delta u_{max} \in \mathbb{R}^p$
- Limitantes sobre a excursão dos controles:  $u_{min}, u_{max} \in \mathbb{R}^p$
- Limitantes sobre a excursão das saídas:  $y_{min}, y_{max} \in \mathbb{R}^q$

## Parâmetros de projeto:

- Pesos das saídas  $\mu_1, \mu_2, \dots, \mu_q > 0$
- Pesos dos controles  $\rho_1, \rho_2, \dots, \rho_p > 0$
- Horizonte de predição  $N$
- Horizonte de controle  $M$

## Inicialização:

- Fazer

$$\tilde{A} = \begin{bmatrix} A & B \\ 0_{p \times n} & I_p \end{bmatrix}, \quad \tilde{B} = \begin{bmatrix} B \\ I_p \end{bmatrix}, \quad \tilde{C} = [C \quad 0_{q \times p}]$$

$$G = \begin{bmatrix} \tilde{C}\tilde{B} & 0 & \dots & 0 \\ \tilde{C}\tilde{A}\tilde{B} & \tilde{C}\tilde{B} & \dots & 0 \\ \vdots & \vdots & \ddots & \vdots \\ \tilde{C}\tilde{A}^{N-1}\tilde{B} & \tilde{C}\tilde{A}^{N-2}\tilde{B} & \dots & \tilde{C}\tilde{A}^{N-M}\tilde{B} \end{bmatrix}, \quad \Phi = \begin{bmatrix} \tilde{C}\tilde{A} \\ \tilde{C}\tilde{A}^2 \\ \vdots \\ \tilde{C}\tilde{A}^N \end{bmatrix}$$

- Fazer

$$Q = \text{diag}(\mu_1, \mu_2, \dots, \mu_q), \quad R = \text{diag}(\rho_1, \rho_2, \dots, \rho_p)$$

$$\mathbf{Q} = \begin{bmatrix} Q & 0 & \cdots & 0 \\ 0 & Q & \cdots & 0 \\ \vdots & \vdots & \ddots & \vdots \\ 0 & 0 & \cdots & Q \end{bmatrix}_{qN \times qN}, \quad \mathbf{R} = \begin{bmatrix} R & 0 & \cdots & 0 \\ 0 & R & \cdots & 0 \\ \vdots & \vdots & \ddots & \vdots \\ 0 & 0 & \cdots & R \end{bmatrix}_{pM \times pM}$$

- Fazer

$$G_n = \mathbf{Q}G, \quad H_{qp} = 2(G^T \mathbf{Q}G + \mathbf{R})$$

$$A_{qp} = \begin{bmatrix} I_{pM} \\ -I_{pM} \\ T_M^{I_p} \\ -T_M^{I_p} \\ G \\ -G \end{bmatrix}$$

- Fazer  $k = 0$ ,  $u(-1) = 0$ .



## Rotina principal:

- 1 Ler  $x(k)$  (estado da planta) e  $y_{ref}$  (vetor de referências para as saídas)
- 2 Fazer  $\mathbf{r} = [y_{ref}]_N$
- 3 Fazer

$$\xi(k) = \begin{bmatrix} x(k) \\ u(k-1) \end{bmatrix}$$

- 4 Calcular  $\mathbf{f} = \Phi \xi(k)$  e  $f_{qp} = 2G_n^T(\mathbf{f} - \mathbf{r})$

- 5 Fazer  $b_{qp} = \begin{bmatrix} [\Delta u_{max}]_M \\ -[\Delta u_{min}]_M \\ [u_{max} - u(k-1)]_M \\ [u(k-1) - u_{min}]_M \\ [y_{max}]_N - \mathbf{f} \\ \mathbf{f} - [y_{min}]_N \end{bmatrix}$

- 6 Resolver o problema de otimização:

$$\Delta \hat{\mathbf{u}}^* = \arg \min_{\Delta \hat{\mathbf{u}} \in \mathbb{R}^{pM}} \frac{1}{2} \Delta \hat{\mathbf{u}}^T H_{qp} \Delta \hat{\mathbf{u}} + f_{qp}^T \Delta \hat{\mathbf{u}} \quad \text{s.a.} \quad A_{qp} \Delta \hat{\mathbf{u}} \leq b_{qp}$$

- 7 Obter o incremento nos controles:

$$\Delta u(k) = \Delta \hat{u}^*(k|k) = \begin{bmatrix} I_p & 0_{p \times p(M-1)} \end{bmatrix} \Delta \hat{\mathbf{u}}^*$$

- 8 Atualizar os controles aplicados à planta:  $u(k) = u(k-1) + \Delta u(k)$
- 9 Fazer  $k = k + 1$
- 10 Aguardar o próximo instante de amostragem e retornar ao passo 1.

# Implementação em Matlab

- `matrizes_ss_du_mimo_restricoes.m`: Monta as matrizes  $\Phi, G_n, H_{qp}, A_{qp}$ .
- `mpc_ss_du_mimo_restricoes.m`: S-function que implementa o controlador

# Exemplo

- `parametros_B747.m`: Define os parâmetros do modelo
- `B747_mpc_ss_du_restricoes.mdl`: Diagrama de simulação

# Parâmetros utilizados na simulação

- Comando de  $+10ft/s$  na taxa de subida com manutenção da velocidade.
- Horizonte de Predição:  $N = 20$
- Horizonte de Controle:  $M = 10$
- Pesos de saída:  $\mu = [1, 1]$ ,
- Pesos de controle:  $\rho = [1, 1]$

# Resumo da aula de hoje

## Caso MIMO:

- Notação adotada
- Função de custo
- Equação de predição
- Solução na ausência de restrições
- Inclusão de restrições

# Tópico da próxima aula

- Estabilidade